



Technovations in Electrical Engineering & Green Energy System

Research Article

(2022) 1(4):71-89

LRAPM: A Lightweight RFID Authentication Protocol for MIoT Systems

Alireza Abdellahi Khorasgani¹, PhD Student, Mahdi Sajadieh¹, Assistant Professor, Mohammad Rouhollah Yazdani¹, Associate Professor

¹ Department of Electrical Engineering, Isfahan (Khorasgan) Branch, Islamic Azad University, Khorasgan, Isfahan, Iran

Abstract:

In recent years, the Internet of Things (IoT) networks have extensively been used in various practical field, one of the most important of which is medical Internet of Things (MIoT). In these networks, radio frequency identification (RFID) is one of the main technologies in creating an authentication system that is able to efficiently identify and identify medical equipment and patients. Therefore, researchers in this field have proposed different authentication protocols for RFID-based MIOT systems and claimed that they are resistant to active and passive attacks. Contrary to their claims, most of these protocols are not resistant to conventional attacks. Fan et al. have recently proposed a lightweight RFID authentication scheme for cloud-based RFID health-care systems and claimed that it is sufficiently efficient and secure. In this paper, we analyzed the Fan et al. protocol and demonstrated that their protocol is vulnerable to replay, reader impersonation, tag tracking, and de-synchronization attacks. Moreover, we show how the similarity of some of their protocol messages causes attack. Then, we propose an improved protocol (LRAMP) that is resistant to these and other known attacks in RFID authentication protocol. According to security analysis, we can see that the LRAPM protocol has a high level of security. This high security can only be achieved by adding a new message and changing other messages. A comparison of the performance of the LRAPM protocol shows that this protocol is comparable to similar protocols in terms of computational costs, storage costs and communication costs.

Keywords: MIOT, Lightweight authentication, Reader impersonation, De-synchronization.

Received: 24 August 2022

Revised: 02 October 2022

Accepted: 30 October 2022

Corresponding Author: Dr. Sayed Mahdi Sajadieh, m.sajadieh@khuif.ac.ir

DOI: <http://dx.doi.org/10.30486/teeges.2022.1968457.1039>





فناوری‌های نوین در مهندسی برق و سیستم انرژی سبز

LRAPM: پروتکل سبک‌وزن امنیتی RFID برای استفاده در سیستم‌های MIOT

علیرضا عبداللهی خوراسگانی^۱، دانشجوی دکتری، سیدمهدی سجادیه^۱، استادیار، محمدرح اله یزدانی^۱، دانشیار

۱- دانشکده مهندسی برق، واحد اصفهان (خوراسگان)، دانشگاه آزاد اسلامی، خوراسگان، اصفهان، ایران

چکیده:

در سال‌های اخیر شبکه‌های اینترنت اشیا (IOT) به صورت گسترده‌ای در حوزه‌های کاربردی مختلف بکار رفته‌اند. یکی از مهم‌ترین کاربردهای این فناوری، شبکه‌های اینترنت اشیا پزشکی (MIOT) می‌باشد. در این شبکه‌ها، شناسایی به وسیله فرکانس‌های رادیویی (RFID) یکی از فناوری‌های اصلی در ایجاد سیستم احراز هویت است که قادر به تشخیص و شناسایی کارآمد تجهیزات پزشکی و بیماران است. بر همین اساس، محققان پروتکل‌های احراز هویت مختلفی را پیشنهاد داده‌اند که می‌توان از آن‌ها در سامانه‌های MIOT مبتنی بر RFID استفاده نمود. البته برخلاف ادعای طراحان مبنی بر امنیت بالای هریک از این پروتکل‌ها، اکثر آنها در برابر حملات مرسوم در این حوزه مقاوم نیستند. به‌تازگی فان و همکاران، یک طرح احراز هویت RFID سبک‌وزن برای سیستم‌های مراقبت بهداشتی RFID مبتنی بر ابر اطلاعات پیشنهاد کرده‌اند و ادعا می‌کنند که پروتکل آنها به اندازه کافی کارآمد است و امنیت بالایی را فراهم می‌کند. در این مقاله، نشان داده می‌شود که پروتکل آنها نسبت به حملات تکرار، جعل هویت برچسب‌خوان، ردیابی برچسب، ناهمزمان‌سازی آسیب‌پذیر است. علاوه بر این، نشان داده می‌شود که چگونه شباهت برخی از پیام‌های پروتکل، باعث حمله می‌شود. سپس، پروتکل بهبودیافته (LRAMP) پیشنهاد می‌گردد که در برابر این حملات و سایر حملات شناخته شده مقاوم است. تحلیل‌های امنیتی، نشان می‌دهد که پروتکل LRAPM از امنیت بالایی برخوردار است. این امنیت بالا تنها با افزودن یک پیام جدید و تغییر پیام‌های دیگر بدست می‌آید. مقایسه عملکرد پروتکل LRAPM نشان می‌دهد که این پروتکل از نظر هزینه‌های محاسباتی، هزینه‌های ذخیره‌سازی و هزینه‌های ارتباطی با پروتکل‌های مشابه قابل مقایسه است.

واژه‌های کلیدی: اینترنت اشیا پزشکی، احراز هویت سبک‌وزن، جعل هویت برچسب‌خوان، ناهمزمان‌سازی

تاریخ دریافت: ۱۴۰۱/۰۶/۰۲

تاریخ بازنگری: ۱۴۰۱/۰۷/۱۰

تاریخ پذیرش: ۱۴۰۱/۰۸/۰۸

نویسنده‌ی مسئول: دکتر سید مهدی سجادیه، m.sajadieh@khuisf.ac.ir

DOI: <http://dx.doi.org/10.30486/teeges.2022.1968457.1039>



امروزه شبکه‌های مبتنی بر اینترنت اشیا IOT^۱ درصددند که ارتباط جامعی بین دستگاه‌های هوشمند ایجاد نمایند. این سامانه‌ها در حوزه‌هایی همچون مراقبت‌های سلامت، حمل و نقل، شبکه‌های هوشمند بکار گرفته شده‌است. با توجه به کاربرد بالای سامانه‌های اینترنت اشیا در دستگاه‌های خدمات‌رسان بهداشتی/ درمانی، تعداد زیادی از شرکت‌ها سرمایه‌گذاری‌های عظیمی را در حوزه خدمات درمانی به عمل آورده‌اند. تمامی دستگاه‌های هوشمند به حسگرهایی برای تشخیص، دریافت و انتقال داده‌ها نسبت به محیط پیرامونی خود مجهز هستند. نظارت از راه دور بر سطح سلامت بیمار، مدیریت بلادرنگ بیماری^۲ از مزایای استفاده از حسگرها در دستگاه‌های پزشکی است. تحت چنین شرایطی هزینه‌های مراقبتی کاهش می‌یابند. علاوه بر این، کیفیت زندگی بیمار نیز ارتقا می‌یابد. از این‌رو سامانه‌های اینترنت اشیا در بخش مراقبتی و درمانی، به اینترنت اشیا پزشکی (MIOT^۳) معروف هستند. در سامانه‌های MIOT امکان نگهداری و ذخیره داده‌های تعداد زیادی از بیماران و امکان تحلیل همیشگی اطلاعات ذخیره شده وجود دارد. این مسئله راندمان فعالیت‌های کاربردی در صنعت درمان/ مراقبت‌های بهداشتی ارتقا می‌دهد. [۱]

امروزه فناوری شناسایی امواج رادیویی RFID^۴ با امکان شناسایی از طریق سیگنال‌های امواج رادیویی برترین سامانه در حوزه اینترنت اشیا پزشکی است [۲ و ۳]. یک سیستم RFID شامل سه مولفه برچسب، برچسب‌خوان و سرور است [۴]. در سیستم‌های پزشکی مبتنی بر RFID، برچسب روی بدن بیمار، انواع مختلف از دستگاه‌های پزشکی یا سیستم‌های انتقال دارو قرار می‌گیرد. برچسب‌خوان اطلاعات را از برچسب‌ها دریافت می‌کند و آن‌ها را برای انجام فعالیت‌های مدیریتی و سایر عملیات به سرورها انتقال می‌دهد. اطلاعات از سرورهای مختلف به سمت سرور ابری منتقل می‌شوند. این سرور ابری امکان دسترسی همیشگی به اطلاعات را برای پزشکان، بیماران و مدیریت بیمارستان فراهم می‌سازد. انتقال اطلاعات در سیستم RFID از طریق کانال‌های غیرایمن صورت می‌گیرد. بنابراین آن را در برابر تهدیدهای امنیتی مهم و جدی آسیب‌پذیر می‌سازد. از آنجایی که اطلاعات بیماران بشدت حساس هستند و زندگی بیمار به آن‌ها وابسته است، لذا دسترسی افراد غیرمجاز به این اطلاعات عواقب ناگواری را در پی دارد. پس به اعمال مکانیزم‌های امنیتی صحیح نیاز می‌باشد تا در حین تشخیص و انتقال داده‌ها، شرایط امنی را برای دستگاه‌های پزشکی هوشمند ایجاد شود. پس مهم‌ترین دغدغه در سیستم‌های MIOT احراز هویت موجودیت‌ها است. [۵]

با توجه به محدودیت منابع برچسب‌ها، استفاده از روش‌های رمزنگاری متقارن و کلید عمومی وجود ندارد. بنابراین در اکثر پروتکل‌های احراز هویت پیشنهادی از تکنیک‌های رمزنگاری سبک‌وزن همچون توابع hash سبک‌وزن [۶]، PRNG، و توابع منطقی (XOR و چرخش بیتی) استفاده می‌شود. [۷]

با توجه به آنچه گفته شد اساسی‌ترین مسئله در سامانه‌های RFID تامین امنیت و دستیابی به احراز هویت صحیح می‌باشد. در این راستا تلاش‌های فراوانی صورت گرفته و در نتیجه پروتکل‌های مختلفی بدین منظور برای این قبیل سامانه‌ها بوجود آمده است. لیکن اغلب این پروتکل‌ها دارای نقایص و ضعف‌هایی می‌باشند که موجب آسیب‌پذیری آن‌ها در برابر حملات گوناگون می‌شوند. به‌تازگی فان و همکارانش [۸] پروتکل احراز هویت جدیدی را برای سیستم‌های خدمات بهداشتی مبتنی بر محیط ابری پیشنهاد داده‌اند که به اعتقاد آن‌ها از سطح امنیتی بالایی برخوردار است. متأسفانه تحلیل امنیتی حاضر نشان می‌دهد که این پروتکل در برابر حمله جعل هویت برچسب‌خوان، ردیابی برچسب و ناهمزمان‌سازی برچسب و سرور آسیب‌پذیر است. در نهایت یک پروتکل احراز هویت جدید طراحی می‌گردد.

دستاوردهای مقاله

دستاوردهای پژوهش فعلی به شکل زیر قابل خلاصه سازی هستند :

- حفره‌های امنیتی پروتکل فان شناسایی و نشان داده‌شد علی رغم ادعای طراحان، پروتکل آن‌ها در برابر حمله تکرار، جعل هویت برچسب‌خوان، ردیابی برچسب‌ها، حمله ناهمزمان‌سازی آسیب‌پذیر است.
- برای غلبه بر کمبودهای پروتکل فان و همکارانش، پروتکل احراز هویت سبک‌وزن LRAPM را ارائه می‌شود. در پروتکل LRAPM جهت ارتقاء سطح امنیتی، از انتقال پیام‌های مشابه در کانال‌های غیر ایمن پرهیز شده‌است. از طرفی، تولید عدد تصادفی توسط برچسب در پروتکل LRAPM باعث شد ایمنی این پروتکل ارتقاء یابد.
- امنیت پروتکل LRAPM از نظر کیفی مورد بررسی قرار داده می‌شود و سطح امنیتی پروتکل با سایر پروتکل‌های مشابه مقایسه می‌گردد.



- در نهایت نیز کارایی پروتکل LRAPM طی جداول ۴ و ۵ با سایر پروتکل های مشابه مقایسه می شود.

ادامه این مقاله به صورت زیر سازمان دهی شده است: در بخش دوم بازبینی فعالیت های مربوطه و پروتکل های احراز هویت ارائه شده در چند سال گذشته در دستور کار قرار می گیرد. بخش سوم، به بازبینی پروتکل فان و همکارانش می پردازد. در بخش چهارم نقاط ضعف امنیتی پروتکل یاد شده نمایان می شود. در بخش پنجم، پروتکل بهبود یافته ای برای غلبه بر این معایب امنیتی ارائه می گردد. بخش ششم نیز به تحلیل امنیت طرح مقاوم شده پیشنهادی پرداخته است. در نهایت نتایج مقاله در بخش هفتم بیان می گردد.

۲- کارهای مرتبط

در سال های اخیر پروتکل های احراز هویت RFID زیادی پیشنهاد شده اند. در تمامی آن ها سازگاری با سیستم های اینترنت اشیا مطرح شده است. این در حالیست که در بازه زمانی کوتاهی پس از معرفی آن ها، حفره های امنیتی در آن ها شناسایی و آشکار شده است. چانگ یه و همکارانش در [۹] پروتکل احراز هویت RFID به نام SRP پیشنهاد کردند. آن ها از یک شاخص برای جست و جوی برچسب مورد نظر در پایگاه داده استفاده می کردند. حیبی و همکارانش [۱۰] نشان دادند که پروتکل یه و همکارانش نیز قادر به فراهم کردن ارتباط امن نیست. آن ها بعد از آن ایجاد تغییراتی در آن پروتکل نسخه ارتقا یافته ای از آن را ارائه نمودند. محمدی و همکارانش در [۱۱] نشان دادند که پروتکل حیبی و همکارانش در برابر حملات افشای پارامترهای مخفی، جعل هویت برچسب، ناهمزمان سازی و حمله ردیابی برچسب مقاوم نیست. آن ها یک پروتکل احراز هویت فوق سبک وزن با نام ILMAP ارائه کردند. علوی و همکارانش در [۱۲] نشان دادند که پروتکل ILMAP، نسبت به حملات ردیابی و افشای برخی پارامترهای مخفی آسیب پذیر است و نمی تواند امنیت روبه جلو را به خوبی حفظ کند. کابایرو ژیل و همکاران [۱۳] پروتکل احراز هویت با استفاده از یک تابع مولد اعداد شبه تصادفی PRNG پیشنهاد دادند اما در [۱۴] مرادی و همکاران نشان دادند پروتکل قبلی در برابر حملات ردیابی برچسب، جعل هویت برچسب و ناهمزمانی مقاوم نیست. تئواری و گوپتا [۱۵] یک پروتکل احراز هویت RFID را پیشنهاد دادند که برای محیط های IOT کاربرد دارد. آن ها مدعی شدند که پروتکل پیشنهادی در برابر حملات ناهمزمان سازی، افشای پارامترهای مخفی و ردیابی مقاوم است. در سال های بعد، محققان در مراجع [۱۶ و ۱۷] آسیب پذیری این پروتکل در برابر حملات افشای پارامترهای مخفی را به اثبات رساندند. فان و همکاران [۱۸] پروتکلی با عنوان LRMPC را برای سامانه های اینترنت اشیا معرفی کردند. آن ها ادعا کردند که پروتکلشان از امنیت بالاتری نسبت به سایر پروتکل های موجود برخوردار است. با این وجود، محققان در [۱۹] نشان دادند که پروتکل LRMPC در برابر حملات جعل هویت برچسب-خوان آسیب پذیر است.

سریواستاوا و همکاران در [۲۰]، پروتکل امنی را بر اساس تابع hash و کلید رمز اشتراکی بین برچسب و سرور معرفی کردند. از این روش تحت عنوان سیستم اطلاعات پزشکی-مراقبت از راه دور (TMIS) یاد می شود. لی و همکاران در [۲۱] متوجه شدند که پروتکل معرفی شده [۲۰] در برابر حملات مختلفی همچون خنثی سازی احراز هویت دوطرفه آسیب پذیر است و فاقد مقیاس پذیری می باشد. آنها در [۲۱۰] پروتکل یاد شده را بهبود بخشیدند. قائم مقامی و همکاران در [۲۲] نشان دادند روش پیشنهادی [۲۱] در برابر حملاتی همچون ناهمزمان سازی و جعل برچسب خوان آسیب پذیر است.

هی و همکارانش در [۲۳] یک پروتکل احراز هویت سبک وزن مبتنی بر ECC را برای سیستم های RFID پیشنهاد دادند. این پروتکل برای کاربردهای درمانی-بهداشتی موبایلی پیشنهاد شده است. اما لی و همکارانش در [۲۴] نشان داده اند که پروتکل پیشنهادی [۲۳] در برابر حمله ردیابی آسیب پذیر است. در ادامه کار، محققان روش های دیگری همچون روش مبتنی بر شبکه پتری [۲۵] و روش پیش محاسباتی در برچسب برای تأمین امنیت مبتنی بر ECC [۲۶] پیشنهاد دادند.

وو و همکاران در [۲۷]، پروتکل احراز هویت سبک وزن و مبتنی بر hash برای RFID ها معرفی کردند. پروتکل پیشنهادی برای سیستم های درمانی از سیستم دستیار ابری استفاده می کند. محققان این پروتکل اثبات کردند که پروتکلشان گمنامی لازم را نسبت به برچسب و برچسب خوان فراهم می سازد و از نظر امنیت روبه جلو و روبه عقب غیرقابل ردیابی می باشد. بن صالح و همکارانش در [۲۷] یک پروتکل احراز هویت، بر اساس امضای خم بیضوی پیشنهاد دادند. این پروتکل قادر به تضمین امنیت اسناد پزشکی بیماران و کادر درمانی می باشد. بازیابی پیام نیز در این پروتکل لحاظ شده است.



به تازگی فان و همکارانش در [۸] یک پروتکل احراز هویت دو طرفه سبکوزن معرفی کردند. محققان این پروتکل مدعی شدند که روش پیشنهادی از ویژگی‌های امنیتی مناسب و مورد نیاز سیستم‌های RFID برخوردار است و مناسب سیستم‌های خدمات بهداشتی مبتنی بر اینترنت اشیاء می‌باشد. در این مقاله نشان داده می‌شود که پروتکل پیشنهادی فان و همکارانش دارای آسیب‌های امنیتی جدی همچون تکرار و جعل هویت برچسب‌خوان، ردیابی برچسب و ناهمزمان‌سازی است.

۳- مروری بر پروتکل فان و همکارانش

در سال ۲۰۱۹ فان و همکاران یک پروتکل احراز هویت RFID سبکوزن به منظور غلبه بر مشکلات امنیتی و حریم خصوصی سیستم‌های خدمات بهداشتی مبتنی بر محیط ابری را معرفی کردند و چنین ادعا کردند که این پروتکل از کارایی بسیار بالایی برخوردار است. فرض بر این است که چنین پروتکلی قادر به مقاومت در برابر حملات وارده به RFID از جمله جعل هویت برچسب‌خوان، ردیابی برچسب و ناهمزمان‌سازی است [۸]. آن‌ها تلاش نمودند با استفاده از به‌کارگیری عملیات‌های سبکوزن و ساده در سمت برچسب تعادل خوبی بین هزینه‌ها و سطح امنیت موجود فراهم نمایند. آنها با استفاده از تمبرهای زمانی به دنبال خنثی‌سازی حملات جعل هویت بودند. از طرفی دیگر ادعای آن‌ها این است که ذخیره کلیدهای قدیمی در سرور، باعث مقاومت در برابر حمله ناهمزمان‌سازی می‌شود. توصیف این پروتکل در ادامه کار ارائه شده است.

۳-۱- علایم اختصاری

علایم اختصاری در طول این مقاله در جدول ۱ نمایش داده شده است. در مقاله حاضر از عملیات‌های ساده‌ای همچون XOR، مولد اعداد شبه تصادفی PRNG، شیفتر چرخشی $Rot(x,y)$ ، جمع استفاده می‌شود.

جدول (۱) علایم اختصاری

علامت اختصاری	توضیحات
p,q	دو عدد اول بزرگ
N	$n=pq$
SID	شبه شناسه برچسب که از روی شناسه اصلی ساخته شده است
SID_{old}	شبه شناسه قبلی برچسب در سرور ابری
SRID	شبه شناسه برچسب‌خوان
$SRID_{old}$	شبه شناسه قبلی برچسب‌خوان در سرور ابری
X	کلید ذخیره شده در برچسب
X'	$X^2 \bmod n, n=pq$
Y	کلید ذخیره شده در برچسب‌خوان
Y'	$Y^2 \bmod n, n=pq$
T_x	زمان فعلی X
T_{th}	مقدار آستانه زمانی
\oplus	عملیات XOR بیتی
PRNG()	مولد اعداد شبه تصادفی
$Rot(X,Y)$	انتقال به چپ $X \oplus Y$ به اندازه $y \bmod L$ بیت، L نشان دهنده طول y است. مثال: $X=10110101, Y=10101000, Rot(X,Y)=11101000$

۳-۲- روش پیشنهادی فان و همکاران

نمایی از روش پیشنهادی فان و همکارانش در شکل ۱ به نمایش درآمده است. این روش شامل یک مرحله راه‌اندازی، یک مرحله احراز هویت و یک مرحله به‌روزرسانی است. در مرحله راه‌اندازی، مدیر سیستم مقادیر اولیه‌ای را به تمامی اعضای سیستم تخصیص می‌دهد. احراز هویت دوطرفه در مرحله احراز هویت صورت می‌گیرد. کلیدهای مخفی در مرحله به‌روزرسانی تحت به‌روزرسانی قرار می‌گیرند.

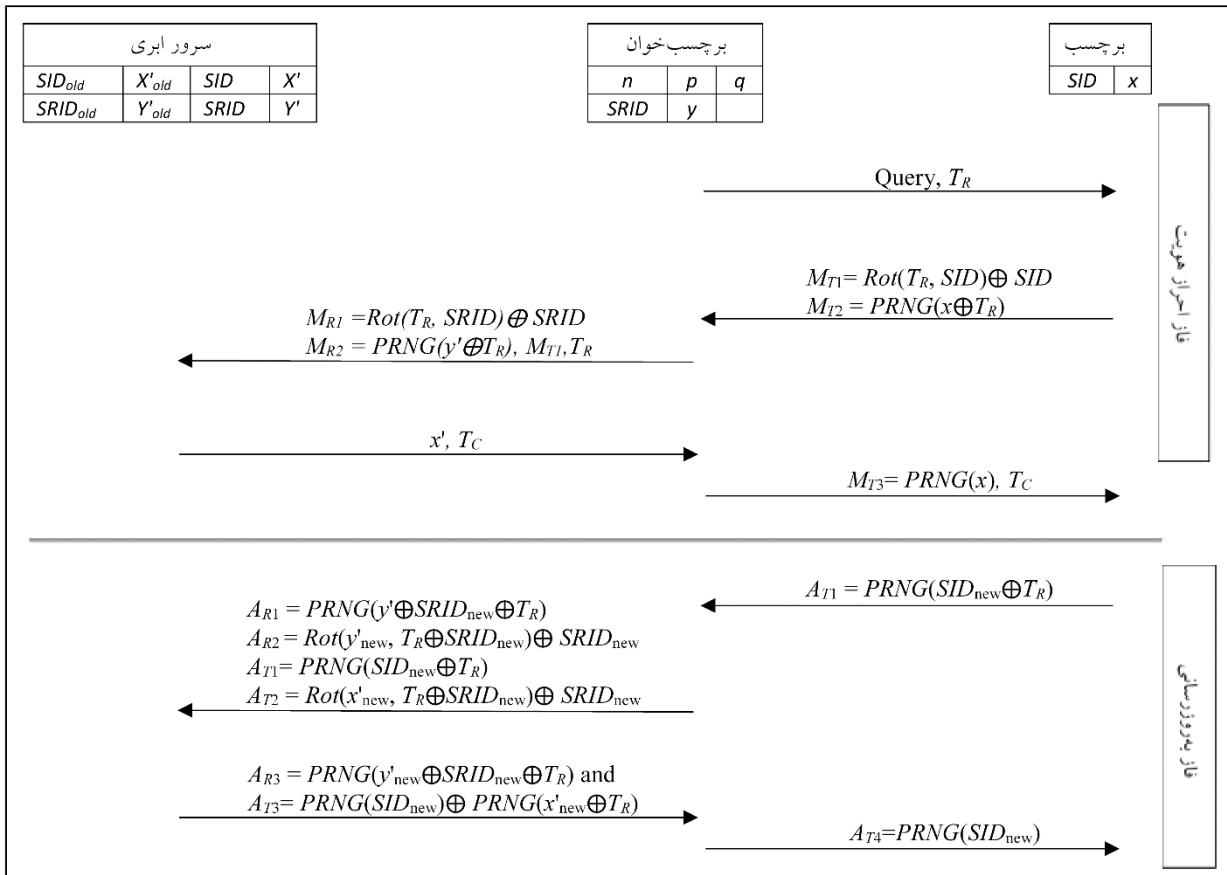
مرحله راه‌اندازی: در این مرحله، برخی مولفه‌های معتبر موجود در سیستم به شرح زیر تعریف می‌شوند:

الف - ابتدا دو عدد اول بزرگ p و q (۵۱۲ بیت یا بیشتر پیشنهاد می‌شود) تولید و مقدار $n=pq$ محاسبه می‌گردد. سپس هر سه

مقدار n, p و q بر روی هر برچسب‌خوان مجاز ذخیره می‌شود.



ب- مدیر سیستم یک شبه شناسه (SID) و یک کلید مخفی (x) را به هر برچسب معتبر تخصیص می دهد.
 پ- مدیر سیستم یک شبه شناسه (SRID) و یک کلید مخفی (y) را به هر برچسب خوان معتبر تخصیص می دهد
 ت- مدیر سیستم برای هر برچسب معتبر، مقادیر $SID=SID$ و $x'=x^2 \bmod n$ در جدول داده های شاخص برچسب که در سرور ابری ذخیره شده است قرار می دهد. در این مرحله به صورت پیش فرض SID_{old} و x'_{old} هر دو برابر با صفر قرار می گیرند.
 ث- مدیر سیستم برای هر برچسب خوان معتبر، مقادیر $SRID=SRID$ و $y'=y^2 \bmod n$ در جدول داده های شاخص برچسب خوان که در سرور ابری ذخیره شده است قرار می دهد. در این مرحله به صورت پیش فرض $SRID_{old}$ و y'_{old} هر دو برابر با صفر قرار می گیرند.



شکل (۱): پروتکل احراز هویت فان و همکاران

مرحله احراز هویت :

الف) برچسب خوان به برچسب: برچسب خوان کوئری و زمان فعلی T_R را برای برچسب ارسال می کند.
 ب) برچسب به برچسب خوان: برچسب مقادیر M_{T1} و M_{T2} را بر اساس T_R ، SID و x طبق روابط (۱) و (۲) محاسبه و جهت احراز هویت برای برچسب خوان ارسال می کند.

$$M_{T1} = Rot(T_R, SID) \oplus SID \quad (۱)$$

$$M_{T2} = PRNG(x \oplus T_R) \quad (۲)$$

پ) برچسب خوان به سرور ابری: برچسب خوان پس از دریافت پیام M_{T1} و M_{T2} مقادیر M_{R1} و M_{R2} را طبق روابط (۳) و (۴) محاسبه و جهت احراز هویت پیام $\{M_{R1}, M_{R2}, M_{T1}, T_R\}$ را برای سرور ابری ارسال می نماید.

$$M_{R1} = Rot(T_R, SRID) \oplus SRID \quad (۳)$$

$$M_{R2} = PRNG(y' \oplus T_R) \quad (۴)$$

ت) سرور ابری به برچسب خوان: پس از دریافت پیام از طرف برچسب خوان، سرور ابری در ابتدا وجود رابطه $T_{th1} < T_s - T_R < T_{th2}$ را بررسی می کند. در صورت برقراری این شرایط، سرور ابری مقدار $SRID$ را از جدول داده های شاخص برچسب خوان جستجو کرده تا مقدار





تطبیقی برای M_{R1} یافت شود. در صورت وجود تطابق، سرور ابری مقدار y' متناظر را استخراج کرده و M_{R2}' را طبق رابطه (۴) محاسبه می‌کند. در صورتی که $M_{R2}' = M_{R2}$ باشد، سرور ابری اعتبار برچسب‌خوان را تایید می‌کند. در ادامه سرور مقدار SID در جدول داده‌های شاخص برچسب جستجو می‌کند تا مقدار تطبیقی برای M_{T1} بیابد. در صورت وجود تطبیق، سرور ابری x' مربوطه را بازیابی و به همراه زمان فعلی (T_C) به سمت برچسب‌خوان می‌فرستد.

ث) برچسب‌خوان به برچسب: برچسب‌خوان چهار راه‌حل x_1, x_2, x_3 و x_4 را بر اساس x', p, q بدست می‌آورد. سپس براساس این راه‌حل مقدار M_{T2}' را طبق رابطه (۲) محاسبه تا برابری $M_{T2}' = M_{T2}$ حاصل و مقدار $x = x_i$ صحیح بدست آید. در چنین شرایطی برچسب احراز هویت شده‌است، برچسب‌خوان مقدار M_{T3} را طبق رابطه (۵) محاسبه کرده و پیام $\{M_{T3}, T_C\}$ را برای برچسب می‌فرستد.

$$M_{T3} = \text{PRNG}(x) \quad (5)$$

پس از دریافت پیام $\{M_{T3}, T_C\}$ توسط برچسب، ابتدا اعتبار برچسب‌خوان با بررسی $M_{T3} = \text{PRNG}(x)$ تعیین می‌شود. در صورت برقراری این وضعیت، هویت برچسب‌خوان به عنوان برچسب‌خوان مجاز به اثبات می‌رسد. در حقیقت صرفاً برچسب‌خوان مجاز با برخورداری از مقادیر p و q قادر به یافتن x از روی x' است. در این شرایط احراز هویت دو طرفه انجام شده‌است و مرحله به‌روزرسانی آغاز می‌شود.

مرحله به‌روزرسانی

ج) برچسب به برچسب‌خوان: برچسب با استفاده از روابط (۶) و (۷)، مقادیر SID_{new} و x_{new} را محاسبه می‌کند. سپس مقدار A_{T1} را طبق رابطه (۸) محاسبه و به سمت برچسب‌خوان انتقال می‌دهد تا اطلاع‌رسانی به‌روزرسانی به سرور ابری ارسال شود.

$$SID_{new} = SID + T_C \quad (6)$$

$$x_{new} = \text{Rot}(x, T_C) \oplus T_C \quad (7)$$

$$A_{T1} = \text{PRNG}(SID_{new} \oplus T_R) \quad (8)$$

چ) برچسب‌خوان به سرور ابری: پس از دریافت A_{T1} ، به منظور به‌روزرسانی داده‌های برچسب در سرور ابری، برچسب‌خوان مقدار x_{new} را از طریق رابطه (۷) محاسبه و x'_{new} را طبق رابطه (۹) محاسبه می‌کند. علاوه بر این مقادیر $SRID_{new}$ ، y_{new} و y'_{new} طبق روابط (۱۰) الی (۱۲) محاسبه شده تا داده‌های برچسب‌خوان نیز در سرور ابری به‌روزرسانی شوند.

$$x'_{new} = x_{new}^2 \bmod n \quad (9)$$

$$SRID_{new} = SRID + T_C \quad (10)$$

$$y_{new} = \text{Rot}(T_C, y) \quad (11)$$

$$y'_{new} = y_{new}^2 \bmod n \quad (12)$$

در ادامه برچسب‌خوان مقادیر جدید را به صورت مخفی از طریق AR_1, AR_2, AT_1, AT_2 که طبق روابط (۱۳) الی (۱۶) محاسبه می‌شوند، برای سرور ابری ارسال می‌نماید.

$$AR_1 = \text{PRNG}(y' \oplus SRID_{new} \oplus T_R) \quad (13)$$

$$AR_2 = \text{Rot}(y'_{new}, T_R \oplus SRID_{new}) \oplus SRID_{new} \quad (14)$$

$$AT_1 = \text{PRNG}(SID_{new} \oplus T_R) \quad (15)$$

$$AT_2 = \text{Rot}(x'_{new}, T_R \oplus SRID_{new}) \oplus SRID_{new} \quad (16)$$

ح) سرور ابری به برچسب‌خوان: پس از اینکه سرور ابری پیام $\{AR_1, AR_2, AT_1, AT_2\}$ را دریافت می‌کند، مقدار $SRID_{new}$ را به عنوان اولین گام محاسبه می‌کند. سپس سرور ابری AR_1 را محاسبه و بررسی می‌کند که آیا با AR_1 ارسالی برابر است یا خیر. در صورت برقراری این شرایط، سرور ابری مقدار y'_{new} را از AR_2 بدست می‌آورد و شروع به به‌روزرسانی جدول داده‌های شاخص برچسب‌خوان به کمک مقادیر جدید می‌نماید. در صورتی که مقادیر $SRID$ و y' از طریق داده‌های قدیمی جدول قابل دسترسی باشند، سرور ابری مقادیر $SRID_{new}$ و y'_{new} را به صورت $SRID \rightarrow SRID_{new}$ و $y' \rightarrow y'_{new}$ به‌روز می‌کند. در اینجا مقادیر $SRID_{old}$ و y'_{old} به همان صورت قبل باقی می‌مانند. در صورت مشاهده $SRID$ و y' در داده‌های جدید، سرور ابری مقادیر را به صورت $SRID \rightarrow SRID_{old}$ ، $y' \rightarrow y'_{old}$ ، $SRID_{new} \rightarrow SRID$ ، $y'_{new} \rightarrow y'$ به‌روز می‌کند. به طریق مشابه، سرور ابری مقدار SID_{new} را محاسبه کرده و سپس صحت AT_1 ارسالی را





بررسی می کند. در صورت درستی A_{T1} ، سرور ابری مقدار X'_{new} را از A_{T2} استخراج کرده و جدول داده های شاخص برچسب را با مقادیر جدید به روزرسانی می کند. در صورت یافتن SID و X' در بخش داده های قدیمی، سرور ابری مقادیر SID_{new} و X'_{new} را به صورت $SID_{new} \rightarrow SID$ و $X'_{new} \rightarrow X'$ به روز می کند. در اینجا مقادیر SID_{old} و X'_{old} به همان صورت قبل باقی می ماند. در صورت مشاهده SID و X' در داده های جدید، سرور ابری مقادیر را به صورت $SID \rightarrow SID_{old}$ ، $X' \rightarrow X'_{old}$ ، $SID_{new} \rightarrow SID$ ، $X'_{new} \rightarrow X'$ به روز می کند. در نهایت سرور ابری مقادیر A_{R3} و A_{T3} را طبق روابط (۱۷) و (۱۸) محاسبه و به عنوان پاسخ برچسب خوان و برچسب برای برچسب خوان ارسال می نماید.

$$A_{R3} = PRNG(y'_{new} \oplus SRID_{new} \oplus T_R) \quad (17)$$

$$A_{T3} = PRNG(SID_{new}) \oplus PRNG(X'_{new} \oplus T_R) \quad (18)$$

خ) برچسب خوان به برچسب: پس از دریافت A_{T3} و A_{R3} ، برچسب خوان بررسی صحت A_{R3} ارسال از طرف سرور ابری را بررسی و در صورت درستی و اصالت آن، بدین نتیجه می رسد که سرور ابری جدول داده های شاخص برچسب خوان را با موفقیت به روزرسانی کرده است. در ادامه برچسب خوان مقادیر $SRID_{new}$ و y_{new} را با $SRID$ و y جایگزین می کند. علاوه بر این، برچسب خوان مقدار A_{T4} را طبق رابطه (۱۹) محاسبه و آن را برای برچسب می فرستد.

$$A_{T4} = A_{T3} \oplus PRNG(X'_{new} \oplus T_R) \quad (19)$$

پس از دریافت A_{T4} ، برچسب صحت درستی A_{T4} را بررسی و در صورت تأیید آن، متوجه می شود سرور ابری با موفقیت جدول داده های شاخص برچسب را به روزرسانی کرده است. سپس برچسب مقادیر SID_{new} و X_{new} را جایگزین SID و X می کند.

۴- تحلیل امنیتی پروتکل فان و همکارانش

در این قسمت نشان داده می شود که پروتکل فان و همکارانش چگونه در برابر حملات ردیابی برچسب، تکرار و جعل هویت برچسب خوان و حمله ناهمزمان سازی آسیب پذیر است. در این پروتکل برچسب هیچ عدد تصادفی یا تمبر زمانی ایجاد نمی کند. از طرفی دیگر برچسب در مرحله احراز هویت تمبر زمانی ارسال از طرف برچسب خوان را از لحاظ صحت بررسی نمی کند از این رو این تمبر زمانی از دید برچسب مانند یک nonce به نظر می آید. همچنین در مرحله احراز هویت و مرحله به روزرسانی از پیام هایی تقریباً مشابه به هم استفاده شده است. مهاجم نیز از این ویژگی ها استفاده می کند و حملات یاد شده را تحقق می بخشد.

۴-۱- حمله ردیابی برچسب

در این نوع حمله مهاجم سعی می کند یک برچسب هدف را مورد ردیابی قرار دهد. این حمله نیز شامل ۳ مرحله است :
مرحله ۱ : در این مرحله از حمله مهاجم پیام های رد و بدل شده بین برچسب و برچسب خوان و سرور را در یک دور اجرای پروتکل مورد استراق سمع قرار می دهد. مهاجم مقادیر T_R ، $M_{T1} = Rot(T_R, SID) \oplus SID$ و $M_{T2} = PRNG(X \oplus T_R)$ را ذخیره می کند و در انتها از رسیدن پیام $A_{T4} = PRNG(SID_{new})$ از برچسب خوان به برچسب جلوگیری می کند. بنابراین برچسب مقادیر X و SID را به روزرسانی نمی کند و همان مقادیر قبلی باقی می ماند.

مرحله ۲ : در این مرحله مهاجم در نقش برچسب خوان، یک جلسه را آغاز می کند و مقدار T_R را به برچسب ارسال می کند. طبق روند پروتکل برچسب به محض دریافت T_R مقادیر $M_{T1}' = Rot(T_R, SID_2) \oplus SID_2$ و $M_{T2}' = PRNG(X_2 \oplus T_R)$ محاسبه می کند. سپس برچسب مقادیر M_{T1}' و M_{T2}' را برای مهاجم ارسال می کند.

مرحله ۳ : با توجه به اینکه مهاجم در مرحله اول از به روزرسانی مقادیر X و SID در سمت برچسب جلوگیری کرد، پس پیام های M_{T1}' و M_{T2}' که توسط برچسب هدف تولید می شود همان مقادیر M_{T1} و M_{T2} است که در مرحله اول استراق سمع شده است. اکنون در صورتی که شرط $M_{T1}' = M_{T1}$ و $M_{T2}' = M_{T2}$ برآورده شده باشد، آنگاه نتیجه گیری این است که برچسب مرحله استراق سمع، با برچسب هدف مهاجم تطابق دارد. در این صورت مهاجم می تواند برچسب هدف را از بین دیگر برچسب ها تشخیص دهد و ردیابی نماید.



۲-۴- حمله تکرار و جعل هویت برچسب خوان

در حمله جعل هویت برچسب خوان مهاجم تلاش می کند تا ضمن فریب دادن برچسب خود را به عنوان یک برچسب خوان معتبر برای برچسب معرفی کند. این حمله شامل ۲ مرحله است: ۱- مرحله یادگیری، ۲- مرحله اجرا که در ادامه توصیف می شوند.

۱- مرحله یادگیری: در این مرحله مهاجم اطلاعات مربوطه را از طریق استراق سمع، تنها در یک دور از اجرای پروتکل بدست می آورد و از به روزرسانی پارامترهای مخفی برچسب جلوگیری می کند. روال عملیات این مرحله بدین نحو است:

✓ مهاجم یک اجرای کامل پروتکل را مورد استراق سمع قرار می دهد.

✓ مهاجم پیام های T_R ، $M_{T1} = \text{Rot}(T_R, \text{SID}) \oplus \text{SID}$ ، $M_{T2} = \text{PRNG}(x \oplus T_R)$ ، T_c ، $M_{T3} = \text{PRNG}(x)$ و $A_{T4} = \text{PRNG}(\text{SID}_{\text{new}})$ را ذخیره می کند.

✓ مهاجم از رسیدن پیام $A_{T4} = \text{PRNG}(\text{SID}_{\text{new}})$ از برچسب خوان به برچسب جلوگیری می کند. بنابراین برچسب مقادیر x و SID را به روزرسانی نمی کند و همان مقادیر قبلی باقی می ماند.

۲- مرحله اجرای حمله: در این مرحله مهاجم با استفاده از اطلاعات ذخیره شده در مرحله یادگیری حمله را به صورت زیر اجرا می کند

✓ مهاجم در نقش برچسب خوان عمل می کند و مقدار T_R را برای برچسب ارسال می کند.

✓ برچسب پس از دریافت T_R ، پیام های $M_{T1} = \text{Rot}(T_R, \text{SID}) \oplus \text{SID}$ ، $M_{T2} = \text{PRNG}(x \oplus T_R)$ را تولید می کند سپس برچسب مقادیر M_{T1} و M_{T2} را برای مهاجم ارسال می کند.

✓ به محض دریافت M_{T1} و M_{T2} ، مهاجم که در نقش برچسب خوان جعلی است پیام T_c ، $M_{T3} = \text{PRNG}(x)$ که در مرحله یادگیری استراق سمع کرده برای برچسب ارسال می کند.

✓ به محض دریافت T_c ، $M_{T3} = \text{PRNG}(x)$ ، برچسب از T_c استفاده کرده و مقادیر SID_{new} و X_{new} را محاسبه می کند. سپس مقدار $A_{T1} = \text{PRNG}(\text{SID}_{\text{new}} \oplus T_R)$ را به مهاجم انتقال می دهد.

✓ با دریافت A_{T1} ، این بار مهاجم $A_{T4} = \text{PRNG}(\text{SID}_{\text{new}})$ را به برچسب ارسال می کند.

✓ به محض دریافت A_{T4} ، برچسب مقدار A_{T4} دریافتی را با مقدار $\text{PRNG}(\text{SID}_{\text{new}})$ مقایسه می کند. با توجه به اینکه مهاجم در مرحله یادگیری از به روزرسانی پارامترهای مخفی برچسب جلوگیری نمود و در مرحله قبل نیز T_c استراق سمع شده از قبل را برای برچسب ارسال نمود پس $A_{T4} = \text{PRNG}(\text{SID}_{\text{new}})$ خواهد بود و برچسب مهاجم را به عنوان برچسب خوان قانونی مورد تایید قرار می دهد.

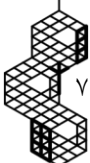
بدین ترتیب با انجام این حمله، هویت برچسب خوان توسط عامل مهاجم جعل می شود. احتمال موفقیت این حمله "۱" است، در حالی که پیچیدگی آن تنها در حد یک نشست استراق سمع، قطع یک پیام و ارسال مجدد پیامها است. در حقیقت این حمله توسط هر مهاجمی با قابلیت استراق سمع قابل اجراست. بنابراین مهاجم از نوع غیرفعال در نظر گرفته می شود.

۳-۴- حمله ناهمزمان سازی

در این نوع حمله مهاجم کاری می کند تا پارامترهای مخفی مشترک بین برچسب و سرور در مرحله به روزرسانی طوری تغییر کنند که طرف مقابل از این نوع به روزرسانی آگاهی نداشته باشد. در این صورت موارد مخفی برچسب و سرور اشتراکی ندارند. از این به بعد برچسب نمی تواند با برچسب خوان و سرور ارتباط داشته باشد. این حمله شامل ۵ مرحله است.

مرحله ۱: در این مرحله مهاجم در نقش برچسب خوان مقدار $T_R = 0$ را برای برچسب ارسال می کند.

مرحله ۲: از آنجایی که تمبر زمانی T_R برای برچسب مثل یک Nonc می ماند به محض دریافت T_R ، پیام های $M_{T1} = \text{Rot}(0, \text{SID}) \oplus \text{SID}$ ، $M_{T2} = \text{PRNG}(x \oplus 0) = \text{PRNG}(x)$ را محاسبه کرده و برای مهاجم ارسال می کند.





مرحله ۳: در این مرحله مهاجم جهت اثبات خود برای برچسب نیاز به پیام $M_{T3} = \text{PRNG}(x)$ دارد. این مقدار در مرحله قبل توسط برچسب برای مهاجم ارسال شده است پس مهاجم در نقش یک برچسب خوان عمل کرده و مقادیر T_A و $\text{PRNG}(x)$ را به سمت برچسب می فرستد.

مرحله ۴: حال برچسب هویت مهاجم را تایید کرده مقادیر $\text{SID}_{\text{new}} = \text{SID} + T_A$ و $X_{\text{new}} = \text{rot}(x, T_A) \oplus T_A$ را محاسبه می کند. سپس مقدار $A_{T1} = \text{PRNG}(\text{SID}_{\text{new}} \oplus 0) = \text{PRNG}(\text{SID}_{\text{new}})$ را به برچسب خوان انتقال می دهد.

مرحله ۵: در این مرحله مهاجم نیاز به پیام $A_{T4} = \text{PRNG}(\text{SID}_{\text{new}})$ دارد. این مقدار در مرحله قبل توسط برچسب برای مهاجم ارسال شده است پس مهاجم در نقش یک برچسب خوان عمل کرده و مقدار $\text{PRNG}(\text{SID}_{\text{new}})$ را به برچسب می فرستد.

مرحله ۶: حال برچسب هویت مهاجم را تایید می کند. سپس برچسب مقادیر SID_{new} و x_{new} را جایگزین SID و x می کند. این در حالی است که سرور از این به روزرسانی آگاهی ندارد. بنابراین حمله ناهمزمان سازی با موفقیت صورت می گیرد. با انجام این حمله، مهاجم توانست اشتراک بین پارامترهای مخفی برچسب و سرور را از بین ببرد. در حالی که پیچیدگی آن تنها در حد ارسال و دریافت چند پیام می باشد. در حقیقت این حمله توسط هر مهاجمی با قابلیت ارسال و دریافت پیام قابل اجراست.

۵- پروتکل اصلاح شده LRAPM

در ادامه مقاله پروتکل احراز هویت سبک وزن LRAPM پیشنهاد می گردد تا خلاءهای امنیتی پروتکل فان و همکاران برطرف شود. این پروتکل امنیت بالاتری از پروتکل قبلی به ارمغان می آورد.

در پروتکل پیشنهادی به منظور غلبه بر حملات معرفی شده برچسب یک عدد تصادفی جدید تولید می کند. برچسب از این عدد تصادفی در پیامها استفاده کرده تا از دریافت و تایید پیامهای قدیمی جلوگیری کند. از طرفی در پایان هر نشست تمبر زمانی T_C با نام T_T در برچسب ذخیره می شود بنابراین در شروع جلسه بعد، برچسب T_R که از طرف برچسب خوان ارسال شده است را با T_T مقایسه می کند و اگر T_R بزرگتر از T_T بود به اجرای پروتکل ادامه می دهد. در این صورت مهاجم نمی تواند پیامهای نشستهای قبلی به برچسب را ارسال نماید. یکی دیگر از ویژگیهای این پروتکل آن است که به جای استفاده مستقیم از شناسه برچسب ID از شبه شناسه برچسب SID و به جای RID از شبه شناسه SRID برای برچسب خوان استفاده شده است. در این صورت پس از هر بار اجرای موفق پروتکل شبه شناسهها به روز می شوند و در جلسات بعدی از آنها برای اجرای پروتکل استفاده می گردد و از شناسه ثابت استفاده نمی گردد بنابراین از بروز حملاتی هم چون تکرار و ردیابی جلوگیری می شود. علاوه بر این ادعا می شود که پروتکل پیشنهادی در برابر تمامی حملات متداول در اینترنت اشیا مبتنی بر RFID مقاوم است. پروتکل LRAPM شامل سه مرحله راه اندازی، احراز هویت و به روزرسانی می باشد. نمایی از پروتکل پیشنهادی در شکل (۲) ترسیم شده است.

مرحله راه اندازی: این مرحله از پروتکل پیشنهادی همانند پروتکل فان و همکارانش بوده و به شرح زیر تعریف می شود:

الف - ابتدا دو عدد اول بزرگ p و q (۵۱۲ بیت یا بیشتر پیشنهاد می شود) تولید و مقدار $n = pq$ محاسبه می گردد. سپس هر سه مقدار n ، p و q بر روی هر برچسب خوان مجاز ذخیره می شود.

ب- مدیر سیستم یک شبه شناسه (SID) و یک کلید مخفی (x) را به هر برچسب معتبر تخصیص می دهد.

پ- مدیر سیستم یک شبه شناسه (SRID) و یک کلید مخفی (y) را به هر برچسب خوان معتبر تخصیص می دهد

ت- مدیر سیستم برای هر برچسب معتبر، مقادیر $\text{SID} = \text{SID}$ و $x' = x^2 \text{modn}$ در جدول داده های شاخص برچسب که در سرور ابری ذخیره شده است قرار می دهد. در این مرحله به صورت پیش فرض SID_{old} و x'_{old} هر دو برابر با صفر قرار می گیرند.

ث- مدیر سیستم برای هر برچسب خوان معتبر، مقادیر $\text{SRID} = \text{SRID}$ و $y' = y^2 \text{modn}$ در جدول داده های شاخص برچسب خوان که در سرور ابری ذخیره شده است قرار می دهد. در این مرحله به صورت پیش فرض SRID_{old} و y'_{old} هر دو برابر با صفر قرار می گیرند.

ج- برای هر برچسب خوان معتبر، مدیر سیستم $\text{SRID} = \text{SRID}$ و $y' = y^2 \text{modn}$ را از روی جدول داده شاخص شده برچسب خوان، ذخیره شده در سرور ابری تعریف می کند. SRID_{old} و y'_{old} هر دو برابر با صفر قرار می گیرند.





مرحله احراز هویت :

الف) برچسب‌خوان به برچسب : برچسب‌خوان یک برچسب زمان فعلی (T_R) را تولید می‌کند که بزرگتر از T_T است. این مقدار همراه با درخواست به برچسب ارسال می‌شود.

ب) برچسب به برچسب‌خوان : به محض دریافت درخواست، برچسب برقراری شرط $T_R > T_T$ را بررسی می‌کند. در صورتی که این شرط برقرار نباشد، برچسب ارتباط را قطع می‌کند. در غیر اینصورت عدد تصادفی R_T را ایجاد می‌کند. سپس برچسب مقادیر M_{T1} ، M_{T2} و M_{T3} را طبق روابط (۲۰) الی (۲۲) محاسبه می‌کند. در ادامه برچسب مقدار چندتایی M_{T1}, M_{T2}, M_{T3} را به برچسب‌خوان ارسال می‌کند.

$$M_{T1} = R_T \oplus \text{SID} \quad (20)$$

$$M_{T2} = \text{Rot}(T_R, \text{SID} + R_T) \oplus \text{SID} \quad (21)$$

$$M_{T3} = \text{PRNG}(x \oplus T_R \oplus \text{PRNG}(R_t)) \quad (22)$$

پ) برچسب‌خوان به سرور ابری: برچسب‌خوان پس از دریافت M_{T1}, M_{T2}, M_{T3} مقادیر M_{R1} و M_{R2} طبق روابط (۲۳) و (۲۴) محاسبه می‌نماید. بدین ترتیب سرور ابری اعتبار برچسب‌خوان را به کمک M_{R2} تعیین می‌کند. پس از انجام محاسبات، برچسب‌خوان مقادیر $M_{R1}, M_{R2}, M_{T1}, M_{T2}, T_R$ را به محیط ابری می‌فرستد.

$$M_{R1} = \text{Rot}(T_R, \text{SRID}) \oplus \text{SRID} \quad (22)$$

$$M_{R2} = \text{PRNG}(y' \oplus T_R) \quad (23)$$

ت) سرور ابری به برچسب‌خوان: پس از دریافت $M_{R1}, M_{R2}, M_{T1}, M_{T2}, T_R$ توسط سرور ابری، در ابتدا وجود رابطه $T_{th1} < T_S$ بررسی می‌شود. در صورت برقراری این شرایط، سرور ابری مقدار SRID را از جدول داده‌های شاخص شده برچسب‌خوان جستجو می‌کند تا مقدار تطبیقی برای M_{R1} یافت شود. در صورت وجود تطابق، سرور ابری مقدار y' متناظر را استخراج می‌کند و M_{R2} را طبق رابطه (۲۳) محاسبه می‌کند و درستی آن را بررسی می‌کند. در صورت درستی M_{R2} ، آنگاه سرور ابری اعتبار برچسب‌خوان را تایید می‌کند. سپس مقدار SID در جدول داده‌های شاخص برچسب جستجو می‌شود. هدف یافتن تطبیق برای M_{T1} و M_{T2} است. در صورت وجود تطبیق، سرور ابری x' مربوطه را بازبازی و به همراه زمان فعلی (T_C) و $\text{PRNG}(R_T)$ به برچسب‌خوان ارسال می‌کند.

ث) برچسب‌خوان به برچسب : برچسب‌خوان چهار راه‌حل x_1, x_2, x_3 و x_4 را بر اساس x' ، ϕ ، q بدست می‌آورد. سپس براساس این راه‌حل مقدار M_{T3}' را طبق رابطه (۲۲) محاسبه تا برابری $M_{T3}' = M_{T3}$ حاصل و مقدار $x = x_i$ صحیح بدست‌آید. در چنین شرایطی برچسب احراز هویت شده‌است. برچسب‌خوان مقادیر T_C و M_{T4} را برای برچسب می‌فرستد.

$$M_{T4} = \text{PRNG}(x \oplus T_C) \quad (24)$$

پس از دریافت M_{T4} و T_C توسط برچسب، در ابتدا اعتبار برچسب‌خوان با بررسی درستی M_{T4} تعیین می‌شود. در صورت درستی M_{T4} ، هویت برچسب‌خوان به عنوان برچسب‌خوان مجاز به اثبات می‌رسد. در حقیقت صرفاً برچسب‌خوان مجاز با برخورداری از مقادیر p و q قادر به یافتن x از روی x' است. در این شرایط احراز هویت دو طرفه انجام شده‌است و مرحله به‌روزرسانی آغاز می‌شود.

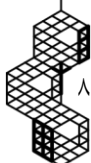
مرحله به‌روزرسانی

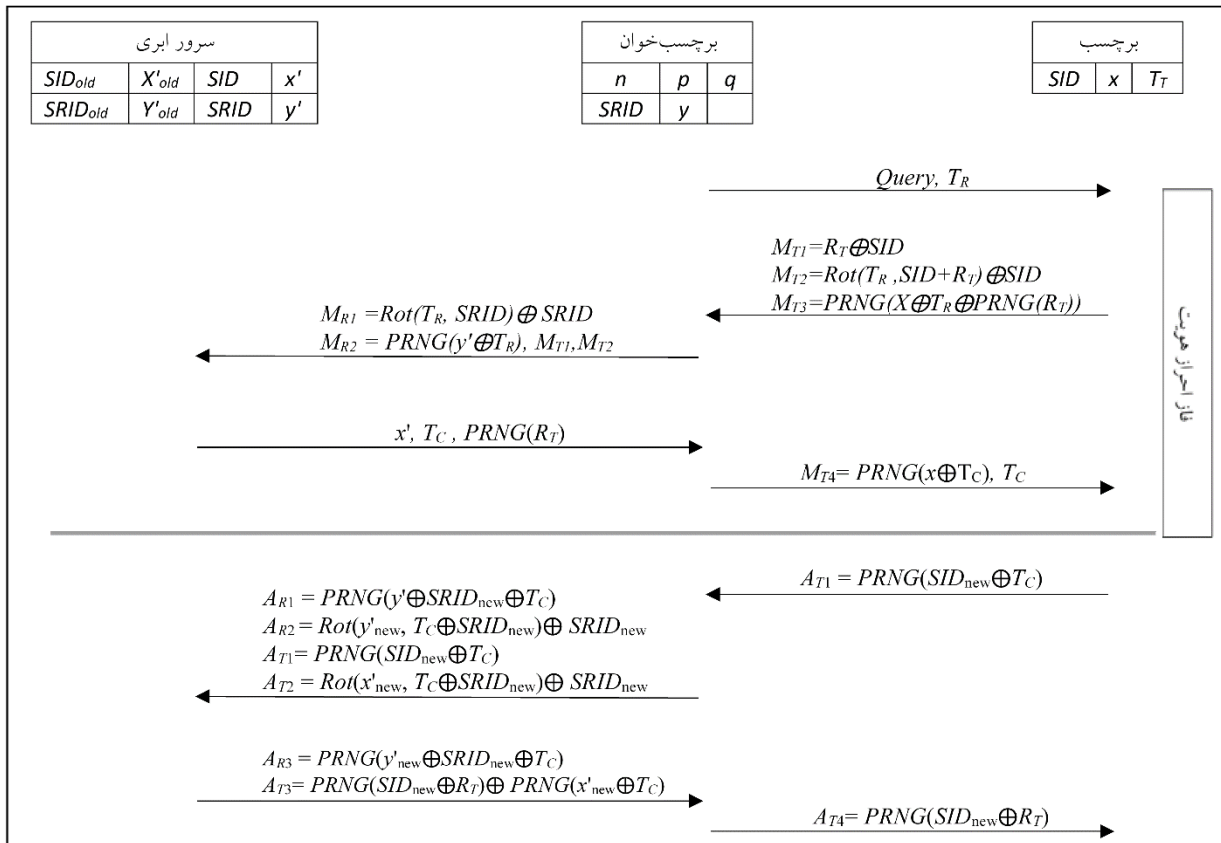
ج) برچسب به برچسب‌خوان: برچسب با استفاده از روابط (۲۵) و (۲۶)، مقادیر SID_{new} و x_{new} را محاسبه می‌کند. سپس مقدار A_{T1} را طبق رابطه (۲۷) محاسبه و به سمت برچسب‌خوان انتقال می‌دهد تا اطلاع‌رسانی به‌روزرسانی به سرور ابری ارسال شود.

$$\text{SID}_{\text{new}} = \text{SID} + T_C + R_t \quad (25)$$

$$x_{\text{new}} = \text{Rot}(x, T_C) \oplus T_C \quad (26)$$

$$A_{T1} = \text{PRNG}(\text{SID}_{\text{new}} \oplus T_C) \quad (27)$$





شکل (۲): پروتکل احراز هویت LRAMP

چ) برچسب‌خوان به سرور ابری: پس از دریافت A_{T1}، به منظور به‌روزرسانی داده‌های برچسب در سرور ابری، برچسب‌خوان مقدار X_{new} را از طریق رابطه (۲۶) محاسبه و X'_{new} را طبق رابطه (۲۸) محاسبه می‌کند. علاوه بر این مقادیر SRID_{new}، Y'_{new} و Y_{new} طبق روابط (۲۹) الی (۳۲) محاسبه شده تا داده‌های برچسب‌خوان نیز در سرور ابری به‌روزرسانی شوند.

$$X'_{new} = X^2_{new} \bmod n \quad (29)$$

$$SRID_{new} = SRID + T_C \quad (30)$$

$$Y_{new} = \text{Rot}(T_C, y) \quad (31)$$

$$Y'_{new} = Y^2_{new} \bmod n \quad (32)$$

در ادامه برچسب‌خوان مقادیر جدید را به صورت مخفی از طریق A_{R1}, A_{R2}, A_{T1} و A_{T2} که طبق روابط (۳۳) الی (۳۶) محاسبه می‌شوند، برای سرور ابری ارسال می‌نماید.

$$A_{R1} = \text{PRNG}(y'_{new} \oplus SRID_{new} \oplus T_C) \quad (33)$$

$$A_{R2} = \text{Rot}(y'_{new}, T_C \oplus SRID_{new}) \oplus SRID_{new} \quad (34)$$

$$A_{T1} = \text{PRNG}(SID_{new} \oplus T_C) \quad (35)$$

$$A_{T2} = \text{Rot}(x'_{new}, T_C \oplus SRID_{new}) \oplus SRID_{new} \quad (36)$$

ح) سرور ابری به برچسب‌خوان: پس از اینکه سرور ابری مقادیر A_{T1}, A_{T2}, A_{R1}, A_{R2} را دریافت می‌کند، مقدار SRID_{new} را به عنوان اولین گام محاسبه می‌کند. سپس سرور ابری صحت A_{R1} دریافتی را بررسی می‌کند. در صورت درستی A_{R1}، سرور ابری مقدار Y'_{new} را از A_{R2} دریافت کرده و به‌روزرسانی جدول داده‌های شاخص برچسب‌خوان را به کمک مقادیر جدید آغاز می‌نماید. در صورتی که مقادیر SRID و Y' از طریق داده‌های قدیمی جدول شاخص قابل دسترسی باشند، سرور ابری به‌روزرسانی را به صورت SRID_{new} → SRID و Y'_{new} → Y' اجرا می‌کند. از طرفی دیگر مقادیر SRID_{old} و Y'_{old} به صورت مقادیر قبلی باقی می‌مانند. در صورتی که SRID و Y' در بخش داده‌های جدید جدول شاخص یافت گردند، سرور ابری امکان به‌روزرسانی SRID_{old} → SRID، Y'_{old} → Y'، SRID_{new} → SRID، Y'_{new} → Y' را



$y' \rightarrow$ را فراهم می‌سازد. به طریق مشابه، سرور ابری مقدار SID_{new} را محاسبه می‌کند و سپس درستی مقدار A_{T1} دریافتی را بررسی می‌نماید. در صورت برقراری چنین شرایطی، سرور ابری مقدار x'_{new} را از A_{T2} دریافت می‌کند و جدول داده‌های شاخص برچسب را با مقادیر جدید به‌روزرسانی می‌کند. در صورت یافتن SID و x' در مقادیر قدیمی جدول شاخص، سرور ابری به‌روزرسانی را به‌صورت $SID \rightarrow SID_{new}$ و $x' \rightarrow x'_{new}$ اجرا می‌کند. این در حالیست که SID_{old} و x'_{old} ثابت باقی می‌مانند. در صورتی که مقادیر SID و x' در بخش داده‌های جدید جدول شاخص وجود داشته باشند، سرور ابری به‌روزرسانی‌ها را به‌صورت $SID \rightarrow SID_{old}$ و $x' \rightarrow x'_{old}$ ، $SID_{new} \rightarrow SID$ را اجرا می‌سازد. در نهایت سرور ابری مقدار A_{R3} و A_{T3} را طبق روابط (۳۷) و (۳۸) محاسبه و به‌عنوان پاسخ به سمت برچسب‌خوان ارسال می‌کند.

$$A_{R3} = PRNG(y'_{new} \oplus SRID_{new} \oplus T_C) \quad (37)$$

$$A_{T3} = PRNG(SID_{new} \oplus R_t) \oplus PRNG(x'_{new} \oplus T_C) \quad (38)$$

خ) برچسب‌خوان به برچسب: پس از دریافت A_{R3} و A_{T3} توسط برچسب‌خوان، در ابتدا درستی A_{R3} بررسی می‌شود. در صورت صحت A_{R3} ، برچسب‌خوان درک می‌کند سرور ابری جدول داده‌های شاخص برچسب‌خوان را با موفقیت به‌روزرسانی کرده و در ادامه برچسب‌خوان نیز مقادیر $SRID_{new}$ و y_{new} را با $SRID$ و y جایگزین می‌کند. علاوه بر این، برچسب‌خوان مقدار A_{T4} را طبق رابطه (۳۹) محاسبه می‌کند و آن را برای برچسب می‌فرستد.

$$A_{T4} = A_{T3} \oplus PRNG(x'_{new} \oplus T_C) \quad (39)$$

پس از دریافت A_{T4} توسط برچسب، صحت درستی A_{T4} بررسی می‌گردد. در صورت درستی A_{T4} ، برچسب می‌فهمد سرور ابری با موفقیت جدول داده‌های شاخص برچسب را به‌روزرسانی کرده‌است. سپس برچسب مقادیر SID_{new} و x_{new} را جایگزین SID و x می‌کند. در انتها برچسب مقدار T_C را با T_T جایگزین می‌نماید.

۶- تحلیل امنیتی پروتکل اصلاح شده

در این قسمت امنیت پروتکل پیشنهادی تجزیه و تحلیل قرار می‌شود و مشخص می‌گردد که چگونه کمبودهای امنیتی پروتکل فان و همکارانش برطرف شده‌است.

۶-۱- مقاومت در برابر حمله افشای پارامترهای مخفی

داده‌های مخفی برچسب که در این پروتکل بکار رفته‌اند عبارتند از SID و x . هر دو مقدار قبل از ارسال روی کانال غیرامن رمزنگاری می‌شوند. در صورتی که مهاجم خواهان دسترسی به x باشد، ضروری است تا مقدار x را از روی $PRNG(x)$ یا x' بدست بیاورد. در حالت اول، مهاجم نمی‌تواند مقدار مدنظر را بدست بیاورد زیرا $PRNG()$ یک عملیات امن به شمار می‌رود. در حالت دوم، با توجه به مساله فاکتورگیری از اعداد بزرگ، دسترسی مهاجم به x غیرممکن است چرا که یکی از دو مقدار p و q مجهول است. علاوه‌براین، با توجه به مقدار نامشخص R_T ، مهاجم برای بدست‌آوردن SID از روی $SID \oplus Rot(T_R, SID + R_T)$ با مشکل روبرو می‌شود. SID و x' ذخیره شده در سرور ابری نیز داده‌های محرمانه را افزایش نمی‌دهند. لذا در روش پیشنهادی، ناشناس بودن برچسب تضمین می‌شود.

۶-۲- مقاومت در برابر حمله ردیابی

در پروتکل LRAMP از تکنیک تمبر زمانی در سمت برچسب استفاده شده است. بدین ترتیب برچسب اعتبار تمبر زمانی را براساس معادله $T_R > T_T$ تست می‌کند و سپس پارامترهای امنیتی مورد نیاز را محاسبه می‌کند. در صورت وجود تمبر زمانی غیرمعتبر، پروتکل اتصال را قطع می‌کند. از طرف دیگر در پایان هر جلسه نیز مقادیر SID و x به‌روزرسانی می‌شوند. علاوه بر این، برچسب در تولید مقادیر M_{T1} ، M_{T2} و M_{T3} از عدد تصادفی جدید (R_t) استفاده می‌کند. بدین ترتیب پاسخ‌های برچسب نه پیوسته هستند و نه توسط مهاجم قابل پیش‌بینی می‌باشند. بنابراین وی قادر به ردیابی برچسب هدف نیست.

۶-۳- امنیت روبه‌جلو و روبه‌عقب

در پروتکل LRAMP، تمامی پیام‌ها به‌وسیله توابع معکوس‌ناپذیر $Rot()$ و $PRNG()$ محاسبه می‌شوند. بدین ترتیب هیچ پیامی وجود نخواهد داشت که مهاجم بتواند برای آن به اطلاعات محرمانه فعلی و قبلی دسترسی پیدا کند. از طرفی پیام‌ها در این پروتکل به



نحوی تولید می‌شوند که نمی‌توان این پیام‌ها را به جلسات قبل یا بعد مرتبط ساخت زیرا در همگی آن‌ها از اعداد تصادفی جدید بهره برده شده‌است. بدین ترتیب روش پیشنهادی امنیت روبه‌جلو و روبه‌عقب را تضمین می‌کند.

۴-۶- مقاومت در برابر حمله ناهمزمان سازی

در صورتی که فرض بر این شود که مهاجم قادر به مسدودسازی آخرین پیام پروتکل باشد و تحت این وضعیت برچسب چندتایی (SID و x) و برچسب‌خوان چندتایی (SRID و y) را برای اجرای حمله ناهمزمان سازی به‌روزرسانی نکند، با این‌وجود سرور چندتایی ($SID_{old}, x'_{old}, SID_{new}, x'_{new}$) و ($SRID_{old}, y'_{old}, SRID_{new}, y'_{new}$) را ذخیره می‌کند و با استفاده از SID_{old} و x_{old} برچسب را مورد تایید قرار می‌دهد و با استفاده از $SRID_{old}$ و y_{old} برچسب‌خوان را مورد تایید قرار می‌دهد. علاوه‌براین در این پروتکل وجود R_T در پیام‌های M_{T2} و M_{T3} باعث شده که امکان تولید پیام‌هایی مشابه وجود نداشته باشد. در این صورت مهاجم نمی‌تواند پیام M_{T4} تولید کند. بدین ترتیب مهاجم قادر نیست برچسب، برچسب‌خوان و سرور را وارد حالت ناهمزمان نماید.

۵-۶- مقاومت در برابر حمله تکرار

در روش LRAMP، تمامی پیام‌ها به‌وسیله اعداد تصادفی جدیداً تولید شده R_T و T_R تولید می‌شوند. بدین ترتیب مهاجم قادر به تکرار پیام‌های استراق‌سمع شده از نشست‌های قبلی نیست و نمی‌تواند هویت‌های موجود در پروتکل را فریب دهد. بدین ترتیب پروتکل مذکور در برابر حملات تکرار مقاوم می‌شود.

۶-۶- مقاومت در برابر حمله جعل هویت برچسب

مهاجم قادر نیست پاسخ مورد انتظار را به برچسب‌خوان تولید و ارسال نماید. علت این است که تمبر زمانی (T_R) تولید شده توسط برچسب‌خوان در پیام‌های برچسب وجود دارد و فرآیند احراز هویت در سمت سرور چنین امکانی را از وی سلب می‌کند. بدین ترتیب پروتکل LRAMP در برابر حمله جعل هویت برچسب مقاوم است.

۷-۶- مقاومت در برابر حمله جعل هویت برچسب‌خوان

در پروتکل LRAMP، برچسب‌خوان با استفاده از تمبر زمانی T_C و R_T مقادیر M_{T4} و A_{T4} را محاسبه می‌کند. بدین ترتیب عامل مهاجم قادر به تکرار پیام‌های استراق‌سمع شده M_{T4} و A_{T4} از نشست قبلی نیست. و لذا نمی‌تواند برچسب را فریب بدهد.

در جدول (۲) پروتکل LRAMP در مقابل حملات یاد شده با پروتکل پیشین خود و نیز چند پروتکل که از نظر انتقال پیام‌ها ساختار مشابهی با این پروتکل دارند و سازگار با استاندارد EPC-C1G2 می‌باشند از نظر امنیتی مقایسه شده است.

۷- تحلیل امنیتی رسمی پروتکل LRAMP

در زمان طراحی پروتکل، به مجموعه‌ای از روش‌های تحلیلی نیاز است که با استفاده از آنها بتوان تحلیل درستی از امنیت پروتکل را داشته و فرایند طراحی پروتکل را به‌طور صحیح پیش‌برد. تحلیل رسمی پروتکل‌های امنیتی، روشی رسمی برای تحلیل پروتکل‌های امنیتی است که براساس آن برآورده شدن اهداف امنیتی یک پروتکل بررسی می‌گردد. یکی از روش‌های متداول تحلیل رسمی استفاده از منطق BAN است. در این بخش، سطح امنیتی پروتکل LRAMP براساس روش رسمی مبتنی بر منطق BAN ارزیابی می‌شود. تجزیه و تحلیل یک پروتکل با استفاده از منطق BAN در ۵ مرحله انجام می‌شود: مرحله (۱) توصیف پیام‌های پروتکل، مرحله (۲) ایده‌آل کردن پیام‌های پروتکل، مرحله (۳) بیان فرضیات صریح، مرحله (۴) ارائه اهداف امنیتی پیشنهادی طرح، مرحله (۵) اثبات اهداف پیشنهادی. نمادهای استفاده شده در روش اثبات مبتنی بر منطق BAN در جدول (۳) نشان داده شده است.



جدول (۲): مقایسه چند پروتکل احراز هویت با طرح LRAMP

پروتکل	پروتکل <i>Benssalah</i> [۲۸]	پروتکل <i>fan</i> [۱۸]	پروتکل <i>Tewari & Gupta</i> [۱۵]	پروتکل <i>fan</i> [۸]	پروتکل LRAMP
مقاوم در برابر افشای پارامترهای مخفی	✓	✓	X	✓	✓
مقاوم در برابر حمله ردیابی	X	X	✓	X	✓
امنیت روبه جلو و روبه عقب	✓	✓	✓	✓	✓
مقاوم در برابر حمله ناهمزمان سازی	X	✓	✓	X	✓
مقاوم در برابر حمله تکرار	✓	✓	✓	✓	✓
مقاوم در برابر حمله جعل هویت برچسب	X	X	✓	✓	✓
مقاوم در برابر حمله جعل هویت برچسب خوان	✓	X	✓	X	✓

جدول (۳): علامت‌های اختصاری به کاررفته در منطق BAN

علامت اختصاری	توضیحات
$P \equiv X$	P مقدار X را تایید می کند
$P \triangleleft X$	P مقدار X را دریافت می کند
$P \sim X$	P مقدار X را ارسال می کند
$\#(X)$	X جدید است
$\{X\}_K$	X با کلید رمزی K رمزنگاری می شود
$P \stackrel{x}{\equiv} Q$	P و Q دارای کلید رمزی اشتراکی X هستند
$\frac{P}{Q}$	اگر P آنگاه Q

منطق BAN از ۱۹ قانون تشکیل شده است. در این اثبات از سه قانون آن استفاده می شود که به شرح زیر بیان شده است:

❖ قانون (R1) - $\frac{P | \equiv P \stackrel{Y}{\equiv} Q . P \triangleleft \{X\}_Y}{P | \equiv Q | \sim X}$: این قانون بدین معنی است که اگر P معتقد است که Y راز مشترک بین P و Q است و

اگر P باور دارد که پیام $\{X\}_Y$ را دریافت کرده است، بنابراین P معتقد است که Q پیام X را ارسال کرده است.

❖ قانون (R2) - $\frac{P | \equiv \#(X)}{P | \equiv \#(X . Y)}$: این قانون بدان معنا است که اگر P معتقد است که پیام X جدید است، آنگاه او می پذیرد که مجموعه پیام (X, Y) جدید است.

❖ قانون (R3) - $\frac{P | \equiv Q | \sim (X.Y)}{P | \equiv Q | \sim (X)}$: این قانون به این معنی است که اگر P معتقد است که Q مجموعه پیام (X, Y) را ارسال کرده است، P می پذیرد که Q پیام X را ارسال کرده است.

اثبات پروتکل LRAMP بر اساس منطق BAN به شرح زیر است:

مرحله ۱ (تعریف پیام‌های پروتکل): در این مرحله پیام‌های بین برچسب و برچسب‌خوان در پروتکل LRAMP به شکل روابط ریاضی بیان می‌شوند.

PM1 : $(R \rightarrow T) : \{ \text{Query} , T_R \}$

PM2 : $(T \rightarrow R) : \{ R_T \oplus \text{SID} , \text{Rot} (T_R , \text{SID} + R_T) \oplus \text{SID} , \text{PRNG} (T_R \oplus x \oplus \text{PRNG}(R_T)) \}$

PM3 : $(R \rightarrow C) : \{ R_T \oplus \text{SID} , \text{Rot} (T_R , \text{SID} + R_T) \oplus \text{SID} , \text{PRNG} (T_R \oplus x \oplus \text{PRNG}(R_T)) , \text{Rot} (T_R , \text{SRID}) \oplus \text{SRID} , \text{PRNG} (T_R \oplus y') \}$

PM4 : $(C \rightarrow R) : \{ x' , T_C , \text{PRNG} (R_T) \}$

PM5 : $(R \rightarrow T) : \{ \text{PRNG} (x \oplus T_C) , T_C \}$

PM6 : $(T \rightarrow R) : \{ \text{PRNG} (\text{SID}_{\text{new}} \oplus T_C) \}$

PM7 : $(R \rightarrow C) : \{ \text{PRNG} (y' \oplus \text{SRID}_{\text{new}} \oplus T_C) , \text{Rot} (y'_{\text{new}} , T_C \oplus \text{SRID}_{\text{new}}) \oplus \text{SRID}_{\text{new}} , \text{PRNG} (\text{SID}_{\text{new}} \oplus T_C) , \text{Rot} (x'_{\text{new}} , T_C \oplus \text{SRID}_{\text{new}}) \oplus \text{SRID}_{\text{new}} \}$

PM8 : $(C \rightarrow R) : \{ \text{PRNG} (y'_{\text{new}} \oplus \text{SRID}_{\text{new}} \oplus T_C) , \text{PRNG} (\text{SID}_{\text{new}} \oplus R_T) \oplus \text{PRNG}(x'_{\text{new}} \oplus T_C) \}$

PM9 : $(R \rightarrow T) : \{ \text{PRNG} (\text{SID}_{\text{new}} \oplus R_T) \}$



مرحله ۲ (ایده آل سازی پیام های پروتکل): در این مرحله پیام های پروتکل LRAPM، مطابق علائم اختصاری منطق BAN به حالت ایده آل تبدیل می شوند.

- IM1 : (R→T) : T ≔ {Query , T_R}
- IM2 : (T→R) : R ≔ {R_T ⊕ SID , Rot (T_R , SID + R_T) ⊕ SID , PRNG (T_R ⊕ x ⊕ PRNG(R_T)}
- IM3 : (R→C) : C ≔ {R_T ⊕ SID , Rot (T_R , SID + R_T) ⊕ SID , PRNG (T_R ⊕ x ⊕ PRNG(R_T) , Rot (T_R , SRID) ⊕ SRID , PRNG (T_R ⊕ y')}
- IM4 : (C→R) : R ≔ {x' , T_C , PRNG (R_T) }
- IM5 : (R→T) : T ≔ { PRNG (x ⊕ T_C) , T_C }
- IM6 : (T→R) : R ≔ { PRNG (SID_{new} ⊕ T_C) }
- IM7 : (R→C) : C ≔ { PRNG (y' ⊕ SRID_{new} ⊕ T_C) , Rot (y'_{new} , T_C ⊕ SRID_{new}) ⊕ SRID_{new} , PRNG (SID_{new} ⊕ T_C) , Rot (x'_{new} , T_C ⊕ SRID_{new}) ⊕ SRID_{new} }
- IM8 : (C→R) : R ≔ { PRNG (y'_{new} ⊕ SRID_{new} ⊕ T_C) , PRNG (SID_{new} ⊕ R_T) ⊕ PRNG(x'_{new} ⊕ T_C) }
- IM9 : (R→T) : T ≔ { PRNG (SID_{new} ⊕ R_T) }

مرحله ۳ (فرضیات صریح): فرضیات صریح اولیه پروتکل LRAPM به شرح زیر بیان می شوند:

- A1: R ≡ # (T_R)
- A2: T ≡ # (R_T)
- A3: C ≡ # (T_C)
- A4: C ≡ C_{≡ SID} T
- A5: T ≡ T_{≡ SID} C
- A6: R ≡ R_{≡ SRID} C
- A7: C ≡ C_{≡ SRID} R
- A8: T ≡ T_{≡ x} R
- A9: R ≡ R_{≡ x} T

مرحله ۴ (اهداف امنیتی پروتکل LRAPM): در اینجا اهداف پروتکل پیشنهادی به شرح زیر فهرست بندی می شوند.

- G1: C ≡ R |~ y'
- G2: C ≡ T |~ R_T
- G3: R ≡ T |~ T_R
- G4: T ≡ R |~ T_C
- G5 : C ≡ R |~ y'_{new}
- G6 : C ≡ T |~ T_C
- G7 : R ≡ C |~ y'_{new}
- G8: T ≡ C |~ R_T

مرحله ۵ (فرآیند اثبات) : در بخش فعلی، سطح امنیتی پروتکل با اعمال قوانین منطقی BAN تجزیه و تحلیل می شود.

- نتیجه ۱: طبق پیام IM3، فرضیات A1 و A7 و براساس قوانین R1 و R3 می توان نتیجه گرفت که C ≡ R |~ y'.
 - نتیجه ۲: طبق پیام IM3، فرضیات A2 و A4 و براساس قوانین R1 و R3 می توان نتیجه گرفت که C ≡ T |~ R_T.
 - نتیجه ۳: طبق پیام IM2، فرض A1 و براساس قانون R2 می توان نتیجه گرفت که { PRNG (T_R ⊕ x ⊕ PRNG(R_T) } ≡ # R. بنابراین طبق پیام های IM2 و IM4، فرضیات A1 و A9 و براساس قوانین R1 و R3 می توان نتیجه گرفت که R ≡ T |~ T_R.
 - نتیجه ۴: طبق پیام IM5، فرض A8 و براساس قوانین R1 و R3 می توان نتیجه گرفت که T ≡ R |~ T_C.
 - نتیجه ۵: طبق پیام IM7، فرضیات A1 و A7 و براساس قوانین R1 و R3 می توان نتیجه گرفت که C ≡ R |~ y'_{new}.
 - نتیجه ۶: طبق پیام IM7، فرضیات A2 و A4 و براساس قوانین R1 و R3 می توان نتیجه گرفت که C ≡ T |~ T_C.
 - نتیجه ۷: طبق پیام IM8، فرضیات A3 و A6 و براساس قوانین R1 و R3 می توان نتیجه گرفت که R ≡ C |~ y'_{new}.
 - نتیجه ۸: طبق پیام IM9، فرض A2 و براساس قانون R2 می توان نتیجه گرفت که { PRNG (SID_{new} ⊕ R_T) } ≡ # T. بنابراین طبق پیام های IM9، فرضیات A2 و A5 و براساس قوانین R1 و R3 می توان نتیجه گرفت که T ≡ C |~ R_T.
- بر اساس نتایج بالا، مشاهده می شود که تمامی اهداف امنیتی پروتکل LRAPM برآورده شده است.



۸- ارزیابی عملکرد پروتکل LRAPM

در این بخش عملکرد و کارایی پروتکل LRAPM با مقایسه این طرح با طرح‌های مشابه خود مشخص می‌گردد. جدول (۴) مقایسه کارایی طرح LRAPM در مؤلفه برچسب با مرتبط‌ترین پروتکل‌های سبک‌وزن مانند پروتکل ULRMAPC، پروتکل عقیلی و همکارانش و پروتکل فان و همکارانش را نشان می‌دهد. مقایسه‌ها نشان از آن دارد که LRAPM هنوز به اندازه کافی کارآمد است. در طرح احراز هویت ULRMAPC، برچسب مقادیر IDS، JD، K و Tt را ذخیره می‌کند. بنابراین، فضای ذخیره‌سازی در برچسب ۴L است. در پروتکل عقیلی و همکارانش فضای ذخیره‌سازی برچسب ۵L است، در این طرح برچسب IDS، JD، K، Tt و s را ذخیره می‌کند. در پروتکل فان و همکارانش، فضای ذخیره‌سازی در برچسب ۲L است. در طرح فان و همکارانش برچسب SID و X را ذخیره می‌کند. در پروتکل LRAPM فضای ذخیره‌سازی در برچسب ۳L است که در آن برچسب مقادیر SID، X، Tt را ذخیره می‌کند.

جدول (۴): مقایسه عملکرد پروتکل LRAPM با پروتکل‌های ULRMAPC، عقیلی و همکارانش و فان و همکارانش

پروتکل	عملیات‌های محاسباتی برچسب	اندازه حافظه موردنیاز برچسب
ULRMAPC	$RG^2, +, \oplus, Rot^2$	۴L
عقیلی و همکارانش	$RG, +, \oplus, Rot^2$	۴L
فان و همکارانش	$\oplus, +, Rot, PRNG$	۲L
LRAPM	$Tr, RG, \oplus, Rot, PRNG^2$	۳L

جدول (۵) مقایسه هزینه‌ها و بارهای ارتباطی پروتکل LRAPM را با سایر پروتکل‌های مشابه نشان می‌دهد. هزینه‌های ارتباطی پروتکل LRAPM بیشتر از سه پروتکل دیگر است. لازم به ذکر است که افزایش هزینه‌های ارتباطی اجتناب‌ناپذیر است. طرح LRAPM قادر به ایمن‌سازی سیستم‌های اینترنت اشیا پزشکی براساس فناوری RFID مبتنی بر سرور ابری است. در چنین سیستم‌هایی، کانال ارتباطی بین برچسب‌خوان و سرور ابری قانونی نامن فرض می‌شود. لازم به ذکر است که در پروتکل‌های ULRMAPC و عقیلی اگرچه برچسب-خوان‌ها سیار در نظر گرفته شده است اما ارتباط در محیط ابری امن صورت می‌گیرد. پروتکل پیشنهادی با وجود داشتن پیام‌های بیشتر نسبت به پروتکل فان و همکاران، سطح امنیت بالاتری را ارائه می‌کند. بنابراین مشاهده می‌شود که کارایی پروتکل پیشنهادی در سیستم‌های RFID موبایلی مبتنی بر ابر بهتر از سه پروتکل فوق است. روش LRAPM همچنین برای اطمینان از الزامات امنیت و حریم خصوصی خدمات مراقبت بهداشتی RFID مبتنی بر ابر بسیار مناسب است.

جدول (۵): مقایسه هزینه و بار ارتباطی در پروتکل LRAPM با پروتکل‌های ULRMAPC، عقیلی و همکارانش و فان و همکارانش

پروتکل	برچسب	برچسب‌خوان	سرور ابری	مجموع
ULRMAPC	$۳I_p$	$۲I_t + ۲I_p$	$۲I_p$	$۲I_t + ۷I_p$
عقیلی و همکارانش	$۲I_p$	$۲I_t + ۲I_p$	$۲I_p$	$۲I_t + ۶I_p$
فان و همکارانش	$۳I_p$	$۲I_t + ۷I_p$	$I_m + I_t + ۲I_p$	$I_m + ۳I_t + ۱۲I_p$
LRAPM	$۴I_p$	$۲I_t + ۷I_p$	$I_m + I_t + ۳I_p$	$I_m + ۳I_t + ۱۴I_p$

I_p طول ID و اعداد تصادفی است. I_m طول خروجی باقیمانده اعداد درجه ۲ است و I_t نشان دهنده طول زمان است.

۹- نتیجه گیری

در این مقاله، امنیت پروتکل احراز هویت را که توسط فان و همکاران که برای اینترنت پزشکی اشیا (MIoT) در فضای ابری پیشنهاد شده است، ارزیابی شد. آنها ادعا کردند که طرح آنها از امنیت بالایی برخوردار است. با این حال، در این مقاله، ثابت گردید که طرح آنها در برابر حملات تکرار، جعل هویت برچسب‌خوان، ردیابی برچسب‌ها و حمله ناهمزمان‌سازی آسیب پذیر است. علاوه بر این، در جهت بهبود پروتکل یاد شده، پروتکل جدیدی با نام LRAPM ارائه شد که با سیستم‌های مراقبت بهداشتی RFID مبتنی بر فضای ابری سازگار باشد. پروتکل LRAPM به اندازه کافی در برابر حملات شناخته شده مقاوم است. مقایسه پروتکل LRAPM با پروتکل‌های مشابه از نظر امنیت، هزینه‌های محاسباتی، ذخیره‌سازی و ارتباطاتی نشان می‌دهد که پروتکل LRAPM بالاترین سطح امنیت را در مقایسه با طرح‌های



مشابه دارد. لازم به ذکر است که افزایش هزینه های محاسباتی و ارتباطی در پروتکل LRAPM نسبت به پروتکل فان، سرعت برچسب را اندکی کاهش می دهد. اما این کاهش سرعت در برابر امنیت حاصله قابل چشم پوشی است. این پروتکل همچنان می تواند برای استفاده در سیستم های RFID ارزان قیمت سازگار با سیستم های MIOT پیاده سازی شود.

مراجع

- [1] A. Satoh, and K. Takano, "A scalable dual-field elliptic curve cryptographic processor." *IEEE Transactions on Computers*, 52(4), pp.449-460, 2003. doi: 10.1109/TC.2003.1190586.
- [2] A. Juels, "RFID security and privacy: A research survey". *IEEE journal on selected areas in communications*, 24(2), pp.381-394, 2006. doi: 10.1109/JSAC.2005.861395 .
- [3] R. Weinstein, "RFID: a technical overview and its application to the enterprise." *IT professional*, 7(3), pp.27-33, 2005. doi: 10.1109/MITP.2005.69 .
- [4] I. Erguler, "A potential weakness in RFID-based Internet-of-things systems." *Pervasive and Mobile Computing*, 20, pp.115-126, 2015. <https://doi.org/10.1016/j.pmcj.2014.11.001>.
- [5] S. Karthikeyan, and M. Nesterenko, "RFID security without extensive cryptography.", *In Proceedings of the 3rd ACM workshop on Security of ad hoc and sensor networks*, (pp. 63-67), 2005. <https://doi.org/10.1145/1102219.1102229>.
- [6] M. Shariq, K. Singh, M.Y. Bajuri, A.A. Pantelous, A. Ahmadian, and M. Salimi, "A secure and reliable RFID authentication protocol using digital schnorr cryptosystem for IoT-enabled healthcare in COVID-19 scenario." *Sustainable Cities and Society*, 75, p.103354, 2021. doi:<https://doi.org/10.1016/j.scs.2021.103354>
- [7] Z. Shi, J. Pieprzyk, C. Doche, Y. Xia, Y. Zhang, and J. Dai, "A strong lightweight authentication protocol for low-cost RFID systems.", *International Journal of Security and Its Applications*, 8(6), pp.225-234, 2014. doi: 10.14257/ijasia.2014.8.6.20.
- [8] K. Fan, S. Zhu, K. Zhang, H. Li, and Y. Yang, "A lightweight authentication scheme for cloud-based RFID healthcare systems." *IEEE Network*, 33(2), pp.44-49, 2019. doi: 10.1109/MNET.2019.1800225.
- [9] T.C. Yeh, Y. J. Wang, T.C. Kuo, and S. S. Wang, "Securing RFID systems conforming to EPC Class 1 Generation 2 standard.", *Expert systems with applications*, 37(12), pp.7678-7683, 2010. <https://doi.org/10.1016/j.eswa.2010.04.074>.
- [10] M. H. Habibi, M. R. Alagheband, and M. R. Aref, "June. Attacks on a lightweight mutual authentication protocol under EPC C-1 G-2 standard.", *In IFIP International Workshop on Information Security Theory and Practices* (pp. 254-263). Springer, Berlin, Heidelberg, 2011. doi: https://doi.org/10.1007/978-3-642-21040-2_18.
- [11] M. Mohammadi, M. Hosseinzadeh and M. Esmaeildoust, "Analysis and improvement of the lightweight mutual authentication protocol under EPC C-1 G-2 standard," *Advances in Computer Science: An International Journal (ACSIJ)*, vol. 3, pp. 10-16, 2014.
- [12] S.M. Alavi, K. Bagheri and B. Abdolmaleki, "Security and Privacy Flaws in a Recent Authentication Protocol for EPC C1 G2 RFID Tags", *ACSIJ Advances in Computer Science: An International Journal*, Vol. 3, Issue 5, No.11, pp.44-52, 2014. doi: <https://doi.org/10.1007/s11277-015-2469-0>.
- [13] C. Caballero-Gil, P. Caballero-Gil, A. Peinado-Domínguez, & J. Molina-Gil, "Lightweight authentication for RFID used in VANETs", *In Computer aided systems theory-EUROCAST*, pp. 493-500, 2012. doi: https://doi.org/10.1007/978-3-642-27579-1_64.
- [14] F. Moradi, H. Mala, B. Tork-Ladani, "Security Analysis and Strengthening of an RFID Lightweight Authentication Protocol Suitable for VANETs", *Wireless Personal Communications*, ed: springer, pp 2607-2621, 2015. doi: <https://doi.org/10.1007/s11277-015-2558-0>.
- [15] A. Tewari, and B. B. Gupta, "Cryptanalysis of a novel ultra-lightweight mutual authentication protocol for IoT devices using RFID tags." *The Journal of Supercomputing*, 73(3), pp.1085-1102, 2017. doi: <https://doi.org/10.1007/s11227-016-1849-x>.
- [16] M. Safkhani, and N. Bagheri, "Passive secret disclosure attack on an ultralightweight authentication protocol for Internet of Things." *The Journal of Supercomputing*, 73(8), pp.3579-3585, 2017. doi: <https://doi.org/10.1007/s11227-017-1959-0>.



- [17] K. H. Wang, C. M. Chen, W. Fang, and T. Y. Wu, "On the security of a new ultra-lightweight authentication protocol in IoT environment for RFID tags." *The Journal of Supercomputing*, 74(1), pp.65-70, 2018, doi: <https://doi.org/10.1007/s11227-017-2105-8>
- [18] K. Fan, Y. Gong, C. Liang, H. Li, and Y. Yang, "Lightweight and ultralightweight RFID mutual authentication protocol with cache in the reader for IoT in 5G," *Security and Communication Networks*, 9(16), pp.3095-3104, 2016. doi: <https://doi.org/10.1002/sec.1314>.
- [19] C. T. Li, C. C. Lee, C. Y. Weng, and C. M. Chen, 2018. "Towards secure authenticating of cache in the reader for RFID-based IoT systems," *Peer-to-Peer Networking and Applications*, 11(1), pp.198-208, 2018. doi: <https://doi.org/10.1007/s12083-017-0564-6>
- [20] K. Srivastava, A. K. Awasthi, S. D. Kaul, and R. C. Mittal, "A hash based mutual RFID tag authentication protocol in telecare medicine information system," *Journal of medical systems*, 39(1), pp.1-5, 2015, doi: <https://doi.org/10.1007/s10916-014-0153-7>.
- [21] C. T. Li, C. Y. Weng, and C. C. Lee, "A secure RFID tag authentication protocol with privacy preserving in telecare medicine information system," *Journal of medical systems*, 39(8), pp.1-8, 2015. doi: <https://doi.org/10.1007/s10916-015-0260-0>.
- [22] S. S. S. GhaemMaghami, M. Mirmohseni, A. Haghbin, "A privacy preserving improvement for SRTA in telecare systems." *arXiv preprint arXiv:1510.04197*, 2015. doi: <https://doi.org/10.48550/arXiv.1510.04197>
- [23] D. He, N. Kumar, N. Chilamkurti, and J.H. Lee, "Lightweight ECC based RFID authentication integrated with an ID verifier transfer protocol". *Journal of medical systems*, 38(10), pp.1-6, 2014. doi: <https://doi.org/10.1007/s10916-014-0116-z>.
- [24] C. I. Lee, and H. Y. Chien, "An elliptic curve cryptography-based RFID authentication securing e-health system," *International Journal of Distributed Sensor Networks*, 11(12), p.642425, 2015. doi: <https://doi.org/10.1155/2015/642425>.
- [25] N. Kumar, K. Kaur, S. C. Misra, and R. Iqbal, "An intelligent RFID-enabled authentication scheme for healthcare applications in vehicular mobile cloud," *Peer-to-Peer Networking and Applications*, 9(5), pp.824-840, 2016. doi: <https://doi.org/10.1007/s12083-015-0332-4>.
- [26] C. Jin, C. Xu, X. Zhang, and F. Li, "A secure ECC-based RFID mutual authentication protocol to enhance patient medication safety," *Journal of medical systems*, 40(1), pp.1-6, 2016. doi: <https://doi.org/10.1007/s10916-015-0362-8>.
- [27] F. Wu, L. Xu, S. Kumari, X. Li, A. K. Das, and J. Shen, "A lightweight and anonymous RFID tag authentication protocol with cloud assistance for e-healthcare applications," *Journal of Ambient Intelligence and Humanized Computing*, 9(4), pp.919-930, 2018. doi: <https://doi.org/10.1007/s12652-017-0485-5>.
- [28] M. Benssalah, M. Djeddou, and K. Drouiche, "Security enhancement of the authenticated RFID security mechanism based on chaotic maps," *Security and Communication Networks*, 7(12), pp.2356-2372, 2014. doi: <https://doi.org/10.1002/sec.946>.

¹ Internet of Things

² real-time disease management

³ medical Internet of Things

⁴ Radio Frequency Identification

⁵ lightweight RFID authentication protocol for MIoT systems